

Тема 3. Анализ нелинейных моделей.

Рассмотрим модель, представленную системой нелинейных дифференциальных уравнений

$$\frac{d\mathbf{x}}{dt} = \mathbf{f}(\mathbf{x}, \varepsilon), \quad \mathbf{x}(t) \in \mathbf{R}^m, \quad (1)$$

где ε - некоторый параметр.

Наибольший интерес представляют ответы на следующие вопросы:

- Как ведет себя решение при $t \rightarrow \infty$?
- Как решение (1) качественно зависит от параметра ε ?

Если вектор $\mathbf{x}(t)$ при $t \rightarrow \infty$ ограничен, то решение (1) может завершаться:

- **равновесной или стационарной точкой;**
- **периодическим решением** (предельным циклом);
- **«хаотическим» или «странным» аттрактором.**

Обратимся к изучению свойств этих объектов.

Равновесные точки.

Первоначально рассмотрим одномерный случай уравнения (1), когда x и ε скалярные величины. Равновесные (стационарные) точки удовлетворяют уравнению

$$f(x, \varepsilon) = 0 \quad (2)$$

Введем обозначения: $\frac{\partial f}{\partial x} = f'_x$, $\frac{\partial f}{\partial \varepsilon} = f'_\varepsilon$, $\frac{\partial^2 f}{\partial x^2} = f''_{xx}$, $\frac{\partial^2 f}{\partial \varepsilon^2} = f''_{\varepsilon\varepsilon}$, $\frac{\partial^2 f}{\partial x \partial \varepsilon} = f''_{x\varepsilon}$

Возможно ли однозначно представить решение (2) в виде $x(\varepsilon)$ или $\varepsilon(x)$?

Ответ на этот вопрос дает теорема о неявной функции.

Пусть в области $D = [x_0 - \Delta, x_0 + \Delta, \varepsilon_0 - \Delta_1, \varepsilon_0 + \Delta_1]$, содержащей точку (x_0, ε_0) , для которой $f(x_0, \varepsilon_0) = 0$, $f(x, \varepsilon)$ непрерывно дифференцируема. Если $f'_x(x_0, \varepsilon_0) \neq 0$, то уравнение (2) имеет единственное непрерывно дифференцируемое решение $x(\varepsilon)$, $x(\varepsilon_0) = x_0$. Если $f'_\varepsilon(x_0, \varepsilon_0) \neq 0$, то уравнение (2) имеет единственное непрерывно дифференцируемое решение $\varepsilon(x)$, $\varepsilon(x_0) = \varepsilon_0$.

Классификация равновесных точек:

- **регулярная точка** – $f'_x(x_0, \varepsilon_0) \neq 0$ или $f'_\varepsilon(x_0, \varepsilon_0) \neq 0$;
- **особая точка** – $f'_x(x_0, \varepsilon_0) = f'_\varepsilon(x_0, \varepsilon_0) = 0$;
- **двойная особая точка** – существуют две ветви решения, имеющие различные касательные;
- **особая точка высокого порядка** – $f''_{xx}(x_0, \varepsilon_0) = f''_{\varepsilon\varepsilon}(x_0, \varepsilon_0) = f''_{x\varepsilon}(x_0, \varepsilon_0) = 0$.

Обратимся к вопросу об устойчивости равновесных точек. Для решений линейной системы

$$\frac{d\mathbf{x}}{dt} = \mathbf{A}\mathbf{x}$$

она полностью определялась собственными значениями матрицы \mathbf{A} . Оказывается, что и в нелинейной системе

$$\frac{d\mathbf{x}}{dt} = \mathbf{f}(\mathbf{x}), \quad \mathbf{x}(t) \in \mathbf{R}^m \quad (3)$$

возможно использование этого аппарата. Пусть \mathbf{x}_0 – стационарная точка (3)

$$\mathbf{f}(\mathbf{x}_0) = \mathbf{0} \quad (4)$$

Рассмотрим малые отклонения $\Delta\mathbf{x}$ от \mathbf{x}_0 . Подставим $\mathbf{x} = \mathbf{x}_0 + \Delta\mathbf{x}$ в (3), вычтем уравнение (4) и разложим результат в ряд по $\Delta\mathbf{x}$, ограничиваясь линейным слагаемым

$$\frac{d\Delta\mathbf{x}}{dt} = \mathbf{f}(\mathbf{x}_0 + \Delta\mathbf{x}) - \mathbf{f}(\mathbf{x}_0) = \mathbf{f}(\mathbf{x}_0) + \mathbf{A}\Delta\mathbf{x} + (**) - \mathbf{f}(\mathbf{x}_0) = \mathbf{A}\Delta\mathbf{x} + (**), \quad (5)$$

где $(**)$ – малые порядка выше первого, а $\mathbf{A} = \frac{\partial \mathbf{f}}{\partial \mathbf{x}}(\mathbf{x}_0)$ – матрица Якоби системы (3) в стационарной точке.

Критерий Ляпунова устанавливает следующее. Решение \mathbf{x}_0 будет *асимптотически устойчивым*, если все собственные значения λ_k матрицы \mathbf{A} лежат в левой полуплоскости ($\text{Re}(\lambda_k) < 0$), и *неустойчивым*, если вещественная часть, хотя бы одного λ_k , положительна ($\text{Re}(\lambda_k) > 0$).

Вывод об устойчивости в случае $\text{Re}(\lambda_k) = 0$ может быть сделан только при учете малых слагаемых, заключенных в $(**)$.

Наибольший интерес для равновесных точек представляет решение следующих двух задач.

Задача 1. Построение диаграммы стационарных решений (ДСР) системы (1) от параметра ε .

При этом в каждой точке $\mathbf{x}(\varepsilon)$ решения системы $\mathbf{f}(\mathbf{x}, \varepsilon) = \mathbf{0}$ по собственным значениям матрицы Якоби оценивается устойчивость, и отдельные участки графика $\mathbf{x}(\varepsilon)$ «раскрашиваются» по устойчивости. Переход из устойчивого состояния в неустойчивое (или обратно) называется **бифуркацией**. В простейшем случае бифуркация может происходить двумя способами: **вещественная** бифуркация (одно из собственных значений матрицы Якоби становится нулевым) и **комплексная** бифуркация, называемая также бифуркацией Андронова-Хопфа (комплексно-сопряженная пара собственных значений имеет нулевую вещественную часть).

Если в системе (1) $\varepsilon = \begin{pmatrix} \varepsilon_1 \\ \varepsilon_2 \end{pmatrix}$ – вектор из двух компонент, то часто

решается еще одна задача.

Задача 2. Построение в плоскости параметров $(\varepsilon_1, \varepsilon_2)$ бифуркационных диаграмм (БД) – кривых, на которых происходит тот или иной вид бифуркации.

Плоскость оказывается разделенной на области, внутри которых для всех точек характер устойчивости остается неизменным. Кроме того, для БД точек вещественной бифуркации ($\lambda_k = 0$), внутри каждой области одинаковым остается и количество равновесных решений.

Рассмотрим различные виды бифуркации.

Вещественная бифуркация. Одномерный случай.

На кривых $x(\varepsilon)$ диаграммы стационарных решений в зависимости от значений $f'_x(x_0, \varepsilon_0)$ и $f'_\varepsilon(x_0, \varepsilon_0)$ можно выделить три основных вида точек:

- $f'_x(x_0, \varepsilon_0) \neq 0$ – *регулярная* точка (большинство точек кривой);
- $f'_x(x_0, \varepsilon_0) = 0$, но $f'_\varepsilon(x_0, \varepsilon_0) \neq 0$ – *простая точка поворота*, в которой появляется или исчезает пара решений (рис. 1);
- $f'_x(x_0, \varepsilon_0) = f'_\varepsilon(x_0, \varepsilon_0) = 0$ – *сингулярная (особая)* точка, в которой происходит *ветвление*.

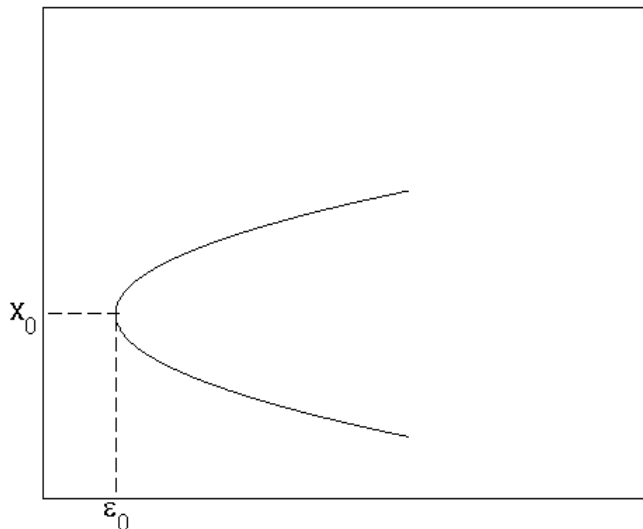


Рис 1. (x_0, ε_0) - точка поворота

Ветвление в точках бифуркации.

Пусть (x_0, ε_0) – особая стационарная точка, удовлетворяющая уравнениям $f(x_0, \varepsilon_0) = 0$, $f'_x(x_0, \varepsilon_0) = f'_\varepsilon(x_0, \varepsilon_0) = 0$, а (x, ε) – весьма близкая к ней другая равновесная точка, такая что $x = x_0 + \Delta x$, $\varepsilon = \varepsilon_0 + \Delta \varepsilon$, а Δx , $\Delta \varepsilon$ – малы. Разложим $f(x, \varepsilon)$ в ряд по Δx , $\Delta \varepsilon$ с точностью до малых третьего порядка:

$$f(x, \varepsilon) = f(x_0, \varepsilon_0) + f'_x(x_0, \varepsilon_0)\Delta x + f'_\varepsilon(x_0, \varepsilon_0)\Delta \varepsilon + \frac{1}{2}(A \cdot \Delta x^2 + 2B \cdot \Delta x \Delta \varepsilon + C \Delta \varepsilon^2) + (***) = \frac{1}{2}(A \cdot \Delta x^2 + 2B \cdot \Delta x \Delta \varepsilon + C \Delta \varepsilon^2) + (***) \quad (6)$$

где $A = f''_{xx}(x_0, \varepsilon_0)$, $B = f''_{x\varepsilon}(x_0, \varepsilon_0)$, $C = f''_{\varepsilon\varepsilon}(x_0, \varepsilon_0)$, $(***)$ – слагаемые третьего и более высокого порядка малости.

Случай 1. Пусть первоначально $A \neq 0$. Разделим (6) на $\Delta \varepsilon^2$ и перейдем к пределу при $\Delta \varepsilon \rightarrow 0$

$$A \left(\frac{dx}{d\varepsilon} \right)^2 + 2B \frac{dx}{d\varepsilon} + C = 0. \quad (7)$$

Если $D = B^2 - AC < 0$, то (x_0, ε_0) – это *изолированная* точка ДСР (из нее не выходит ни одна кривая). Если же $D > 0$, то, как это видно на рис.2, в точке (x_0, ε_0) , имеем две пересекающиеся дуги (здесь сходятся четыре ветви).

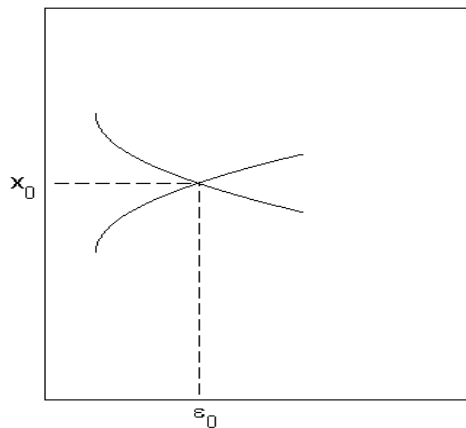


Рис. 2. (x_0, ε_0) - точка ветвления

Случай 2. Пусть $A = 0$, $C \neq 0$. Разделим (6.6) на Δx^2 и перейдем к пределу при $\Delta x \rightarrow 0$

$$C \left(\frac{d\varepsilon}{dx} \right)^2 + 2B \frac{d\varepsilon}{dx} + A = C \left(\frac{d\varepsilon}{dx} \right)^2 + 2B \frac{d\varepsilon}{dx} = 0. \quad (8)$$

Квадратное уравнение имеет два корня:

$$\left(\frac{d\varepsilon}{dx} \right)_1 = 0, \quad \left(\frac{d\varepsilon}{dx} \right)_2 = -\frac{2B}{C}.$$

Этот случай отвечает рис. 3 (бифуркация типа «вилка»), где, как и на рис. 2, имеем две дуги.

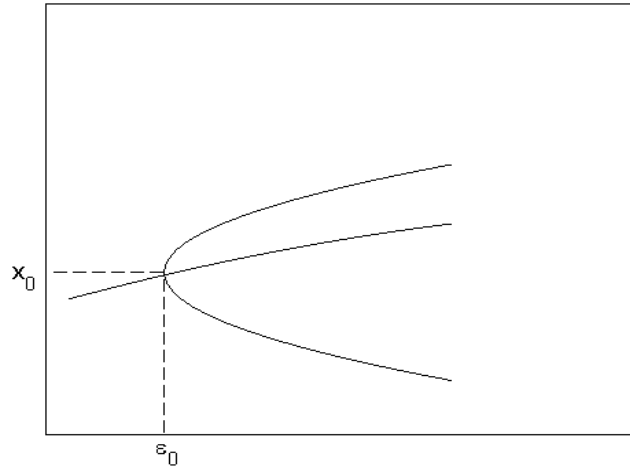


Рис. 3. Бифуркация типа «вилка»

Комплексная бифуркация (бифуркация Андронова-Хопфа).

Этот вид бифуркации рассмотрим на примере следующей системы уравнений

$$\begin{aligned}\frac{dx_1}{dt} &= \varepsilon x_1 - x_2 \mp x_1(x_1^2 + x_2^2), \\ \frac{dx_2}{dt} &= x_1 + \varepsilon x_2 \mp x_2(x_1^2 + x_2^2).\end{aligned}\tag{9}$$

Первоначально учтем нелинейные слагаемые в (9) со знаком $(-)$. Точка $x_1 = x_2 = 0$ является единственной стационарной точкой. Оценим ее устойчивость. Матрица Якоби системы (9)

$$J = \begin{pmatrix} \varepsilon - 3x_1^2 - x_2^2; & -1 - 2x_1x_2 \\ 1 - 2x_1x_2; & \varepsilon - 3x_2^2 - x_1^2 \end{pmatrix}$$

в нулевой точке приобретает вид

$$J = \begin{pmatrix} \varepsilon & -1 \\ 1 & \varepsilon \end{pmatrix},$$

и ее собственные значения равны $\lambda_{1,2} = \varepsilon \pm i$. Для $\varepsilon < 0$ имеем асимптотическую устойчивость (тип равновесия – устойчивый фокус), для $\varepsilon > 0$ – неустойчивость (тип равновесия – неустойчивый фокус), а для $\varepsilon = 0$ оценка устойчивости требует учета нелинейных слагаемых в (9).

Для дальнейшего анализа выполним в (9) замену переменных

$$x_1 = R \cos \varphi, \quad x_2 = R \sin \varphi,$$

перейдя к полярным координатам

$$R' \cos \varphi - R \sin \varphi \cdot \varphi' = \varepsilon R \cos \varphi - R \sin \varphi - R^3 \cos \varphi,\tag{10}$$

$$R' \sin \varphi + R \cos \varphi \cdot \varphi' = R \cos \varphi + \varepsilon R \sin \varphi - R^3 \sin \varphi.\tag{11}$$

Умножим (10) на $\cos \varphi$, а (11) на $\sin \varphi$, и результаты сложим

$$\frac{dR}{dt} = \varepsilon R - R^3 = (\varepsilon - R^2)R. \quad (12)$$

Затем умножим (10) на $(-\sin \varphi)$, а (11) на $\cos \varphi$, результаты сложим и разделим на R

$$\frac{d\varphi}{dt} = 1. \quad (13)$$

Уравнение (12) имеет две стационарные точки: значение $R=0$, отвечающее нулевой стационарной точке, и $R=\sqrt{\varepsilon}$ для $\varepsilon > 0$, что соответствует периодическому движению по окружности. Поведение решения (12) и (13) для различных ε и различных начальных условий иллюстрирует рис. 4.

Для $\varepsilon < 0$ нулевая точка асимптотически устойчива, периодическое решение отсутствует и так как для любых начальных условий $R' < 0$, то имеем равновесие типа «устойчивый фокус» (рис. 4а). Для $\varepsilon = 0$ $R' = -R^3 < 0$ и вид рис. 4.б совпадает с предыдущим. Наконец, для $\varepsilon > 0$ нулевая точка равновесия неустойчива, и появляется периодическое решение (окружность с радиусом $R = \sqrt{\varepsilon}$). Любое начальное условие $R_0 < \sqrt{\varepsilon}$ отвечает $R' > 0$, и решение изнутри выходит на окружность. С другой стороны, любое начальное условие $R_0 > \sqrt{\varepsilon}$

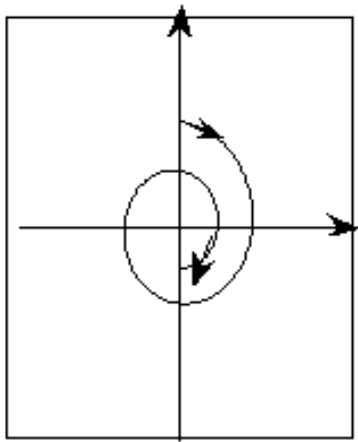


Рис. 4а $\varepsilon < 0$

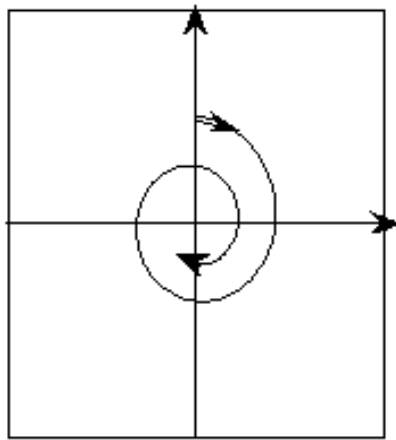


Рис. 4б $\varepsilon = 0$

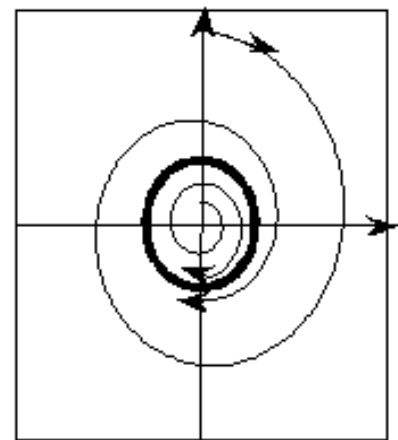


Рис. 4в $\varepsilon > 0$

отвечает $R' < 0$, и решение выходит на окружность снаружи (рис.4в). Таким образом, траектория окружности является своеобразным объектом притяжения (аттрактором). Примечательно, что параметры этой окружности не зависят от начальных условий.

Теперь учтем нелинейные слагаемые в (9) со знаком (+). Выполняя ту же замену переменных, получаем уравнения аналогичные (12) и (13)

$$\frac{dR}{dt} = \varepsilon R + R^3 = (\varepsilon + R^2)R, \quad (12a)$$

$$\frac{d\varphi}{dt} = 1. \quad (13a)$$

Уравнение (12а), как и прежде, имеет две стационарные точки: значение $R = 0$, отвечающее нулевой стационарной точке, и $R = \sqrt{-\varepsilon}$ для $\varepsilon < 0$, что соответствует периодическому движению по окружности. Поведение решения (12а) и (13а) для различных ε и различных начальных условий иллюстрирует рис. 5.

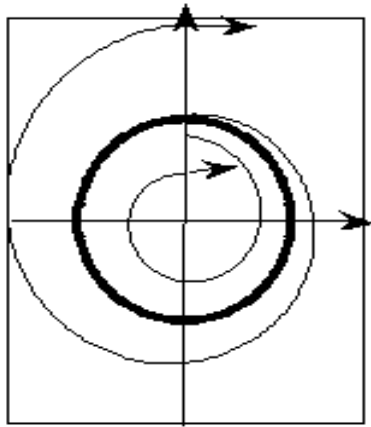


Рис. 5а $\varepsilon < 0$
 $\varepsilon > 0$

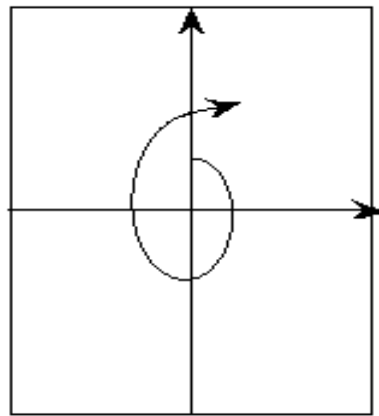


Рис. 5б $\varepsilon = 0$

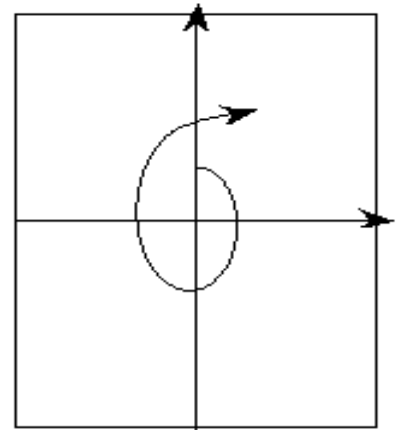


Рис. 5в

Для $\varepsilon < 0$ (рис. 5а) нулевая точка асимптотически устойчива, но одновременно присутствует периодическое решение. Для начального условия $R_0 < \sqrt{-\varepsilon}$ производная $R' < 0$ и решение стремится к нулевой точке (равновесие типа «устойчивый фокус»). При $R_0 > \sqrt{-\varepsilon}$ производная $R' > 0$ и решение стремится к бесконечности. Во всех случаях окружность с $R_0 = \sqrt{-\varepsilon}$ уже не является объектом притяжения, но параметры, как и ранее, не зависят от начальных условий.

Для $\varepsilon = 0$ производная $R' = R^3 > 0$ и вид рис. 5б демонстрирует «неустойчивый фокус». Наконец, для $\varepsilon > 0$ производная $R' = (\varepsilon + R^2)R > 0$ и внешний вид рис. 5в полностью совпадает с рис. 5б.

Методы построения диаграмм стационарных решений и бифуркационных диаграмм

Стационарные точки системы (1) удовлетворяют условию

$$\mathbf{f}(\mathbf{x}, \varepsilon) = \mathbf{0}, \quad (14)$$

и диаграмма может строиться следующим образом. Вводя дискретные значения для параметра ε

$$\varepsilon_k = \varepsilon_0 + k\Delta\varepsilon, \quad k = 1, 2, \dots,$$

и решая систему (14), например, методом Ньютона, последовательно получаем $\mathbf{x}_k = \mathbf{x}(\varepsilon_k)$. При этом для относительно малого шага $\Delta\varepsilon$ значение \mathbf{x}_{k-1} будет хорошим начальным приближением, и метод Ньютона будет успешно

сходиться. Остается лишь вопрос с выбором удачного значения \mathbf{x}_0 . Для его нахождения может быть использован следующий подход.

Метод продолжения по параметру.

Вместо поиска решения уравнения

$$\mathbf{f}(\mathbf{x}) = \mathbf{f}(\mathbf{x}, \varepsilon_0) = \mathbf{0} \quad (15)$$

предлагается решать систему

$$\mathbf{H}(\tau, \mathbf{x}) = \mathbf{0}, \quad \tau \in [0, 1], \quad (16)$$

где функция $\mathbf{H}(\tau, \mathbf{x})$ одновременно обладает двумя свойствами:

а) при $\tau = 0$ уравнение $\mathbf{H}(0, \mathbf{x}) = \mathbf{0}$ легко решается,

б) при $\tau = 1$ функция $\mathbf{H}(1, \mathbf{x})$ равна $\mathbf{f}(\mathbf{x})$, и (16) превращается в (15).

Примерами $\mathbf{H}(\tau, \mathbf{x})$ могут служить:

$$\mathbf{H}(\tau, \mathbf{x}) = \mathbf{f}(\mathbf{x}) + (\tau - 1) \cdot \mathbf{f}(\mathbf{x}^*),$$

$$\mathbf{H}(\tau, \mathbf{x}) = (1 - \tau) \cdot (\mathbf{x} - \mathbf{x}^*) + \tau \cdot \mathbf{f}(\mathbf{x}).$$

Последовательно решаем (16) для $\tau_j = j \cdot \Delta\tau$, $\Delta\tau = 1/N$, $j = 0, 1, \dots, N$ методом Ньютона. При $\tau_0 = 0$ решение (16) очевидно равно \mathbf{x}^* , $\mathbf{x}(\tau_j)$ будет хорошим приближением для $\mathbf{x}(\tau_{j+1})$, и, наконец, $\mathbf{x}(\tau_N)$ дает нужное решение (15).

Для окончательного оформления диаграммы стационарных решений в каждой найденной ее точке $\mathbf{x}_k = \mathbf{x}(\varepsilon_k)$ вычисляем матрицу Якоби системы (1) и рассчитываем ее собственные значения, а затем «раскрашиваем» по устойчивости кривые $\mathbf{x}(\varepsilon)$. Если ставится задача определения точек вещественной или комплексной бифуркации, то здесь может быть использован следующий алгоритм.

Нахождение точек поворота и ветвления

В системе (14) расширим вектор \mathbf{x} за счет введения еще одной компоненты $x^{(n+1)} = \varepsilon$ и вычислим матрицу \mathbf{J} размерностью $n \times (n+1)$

$$\mathbf{J} = \begin{pmatrix} \frac{\partial f^{(1)}}{\partial x^{(1)}} & \frac{\partial f^{(1)}}{\partial x^{(2)}} & \dots & \frac{\partial f^{(1)}}{\partial x^{(n+1)}} \\ \frac{\partial f^{(2)}}{\partial x^{(1)}} & \frac{\partial f^{(2)}}{\partial x^{(2)}} & \dots & \frac{\partial f^{(2)}}{\partial x^{(n+1)}} \\ \dots & \dots & \dots & \dots \\ \frac{\partial f^{(n)}}{\partial x^{(1)}} & \frac{\partial f^{(n)}}{\partial x^{(2)}} & \dots & \frac{\partial f^{(n)}}{\partial x^{(n+1)}} \end{pmatrix}. \quad (17)$$

Пусть \mathbf{J}_k – квадратная матрица, получающаяся из \mathbf{J} вычеркиванием k -го столбца. Тогда \mathbf{J}_{n+1} – обычная матрица Якоби системы (14). Оказывается, что

в точках поворота и ветвления требование $f'_x(x_0, \varepsilon_0) = 0$, записанное для одномерного случая, на случай вектора \mathbf{x} заменяется на условие

$$\det(\mathbf{J}_{n+1}) = 0. \quad (18)$$

Отличие точки поворота от точки ветвления заключается в следующем:

$$\det(\mathbf{J}_k) = 0, \quad k \neq n+1 \quad - \text{точка ветвления}; \quad (19)$$

$$\det(\mathbf{J}_k) \neq 0, \quad k \neq n+1 \quad - \text{точка поворота}. \quad (20)$$

Условие (19) является обобщением на многомерный случай ранее сформулированного требования для одного уравнения $f'_x(x_0, \varepsilon_0) = f'_\varepsilon(x_0, \varepsilon_0) = 0$, а условие (20) – соответствующего требования $f'_x(x_0, \varepsilon_0) = 0$, но $f'_\varepsilon(x_0, \varepsilon_0) \neq 0$ для точки поворота.

Таким образом, решение системы из $(n+1)$ уравнения относительно \mathbf{x} и ε

$$\begin{aligned} \mathbf{f}(\mathbf{x}, \varepsilon) &= \mathbf{0}, \\ \det(\mathbf{J}_{n+1}) &= 0 \end{aligned} \quad (21)$$

позволяет найти все точки поворота и ветвления, а отличить их друг от друга можно, проверив условия (19) или (20). На практике, если размерность вектора \mathbf{x} не слишком мала, формирование второго уравнения в системе (21) представляется весьма затруднительным. С этой целью условие нулевого определителя заменяется уравнением $\mathbf{J}_{n+1} \cdot \mathbf{v} = 0$, где \mathbf{v} – собственный вектор, отвечающий нулевому собственному значению. Так как \mathbf{v} определяется с точностью до постоянного множителя, то для однозначного решения задачи можно ввести дополнительное условие, например, $\mathbf{v}^{(k)} = 1$, где $\mathbf{v}^{(k)}$ – k -я компонента вектора \mathbf{v} . Как результат, вместо (21) имеем

$$\begin{aligned} \mathbf{f}(\mathbf{x}, \varepsilon) &= \mathbf{0}, \\ \mathbf{J}_{n+1} \cdot \mathbf{v} &= 0, \\ \mathbf{v}^{(k)} &= 1. \end{aligned} \quad (22)$$

Если случайно матрица \mathbf{J}_{n+1} такова, что $\mathbf{v}^{(k)} = 0$, то достаточно попробовать другое значение k .

Нахождение точек комплексной бифуркации (Андропова-Хопфа)

В этом виде бифуркации часто от ветви стационарных решений отходит ветвь периодических решений. В точке бифуркации матрица Якоби \mathbf{J}_{n+1} имеет чисто мнимую пару собственных значений $\lambda_{1,2} = \pm i \cdot \omega$ с комплексно-сопряженной парой собственных векторов $\mathbf{w} = \mathbf{u} \pm i \cdot \mathbf{v}$. В этих условиях получаем

$$\mathbf{J}_{n+1} \mathbf{w} = \lambda \mathbf{w} \Rightarrow \mathbf{J}_{n+1} (\mathbf{u} + i \cdot \mathbf{v}) = i \cdot \omega (\mathbf{u} + i \cdot \mathbf{v}). \quad (23)$$

Приравнивая отдельно действительные и мнимые части равенства (23), имеем

$$\begin{aligned}\mathbf{J}_{n+1} \cdot \mathbf{u} + \omega \cdot \mathbf{v} &= \mathbf{0}, \\ -\omega \cdot \mathbf{u} + \mathbf{J}_{n+1} \cdot \mathbf{v} &= \mathbf{0}.\end{aligned}\tag{24}$$

Дополняя аналогично предыдущему последние равенства условием нормировки вектора \mathbf{w} , как итог получаем систему из $(3n+2)$ уравнений для определения точек комплексной бифуркации

$$\begin{aligned}\mathbf{f}(\mathbf{x}, \varepsilon) &= \mathbf{0}, \\ \mathbf{J}_{n+1} \cdot \mathbf{u} + \omega \cdot \mathbf{v} &= \mathbf{0}, \\ -\omega \cdot \mathbf{u} + \mathbf{J}_{n+1} \cdot \mathbf{v} &= \mathbf{0}, \\ \mathbf{u}^{(k)} &= 1, \quad \mathbf{v}^{(k)} = 0.\end{aligned}\tag{25}$$

Пример. Пусть система (14) содержит лишь два уравнения, и матрица Якоби имеет размерность 2×2 :

$$\mathbf{J}_{n+1} = \begin{pmatrix} a_{11} & a_{12} \\ a_{21} & a_{22} \end{pmatrix}.$$

Так как сумма собственных значений матрицы всегда равна сумме ее диагональных элементов, то для матрицы второго порядка и собственных значений $\lambda_{1,2} = \pm i \cdot \omega$ получаем

$$\lambda_1 + \lambda_2 = a_{11} + a_{22} = 0.$$

Значения ε , отвечающие точкам комплексной бифуркации, в этом случае могут быть получены не из весьма сложной системы (25), а из уравнений

$$\begin{aligned}\mathbf{f}(\mathbf{x}, \varepsilon) &= \mathbf{0}, \\ a_{11} + a_{22} &= 0.\end{aligned}\tag{26}$$

Следует, однако, отметить, что второе уравнение (26) имеет место не только для чисто мнимой пары собственных значений, но и когда имеется два вещественных собственных значения, равных по модулю, но противоположных по знаку. Поэтому на практике решается система (26), в полученных точках проверяются собственные значения матрицы \mathbf{J}_{n+1} , и отбрасывается все лишнее.

В заключение отметим, что в ситуации, когда $\varepsilon = (\varepsilon_1, \varepsilon_2)^T$, можно, изменяя, например, ε_2 с некоторым шагом, решать соответствующую систему уравнений относительно ε_1 и строить бифуркационную диаграмму в плоскости компонент вектора ε .